



УДК: 531.46
MSC 2010: 70F40

Модель трения в случае плоского эллиптического контакта тела с опорной плоскостью

М. А. Муницына

Модель Контенсу – Журавлева [1, 2] распространяется на случай плоского эллиптического контакта выпуклого тела с горизонтальной плоскостью. Строятся аппроксимации Паде выражений, определяющих силу и момент трения. Полученная модель применяется к численному исследованию динамики однородного эллипсоида вращения на горизонтальной плоскости.

Ключевые слова: сухое трение, закон Кулона

1. Модель трения

Рассмотрим задачу о взаимодействии гладкого выпуклого тела с горизонтальной плоскостью. Заменим точечный контакт тела с плоскостью пятном контакта, которое, согласно теории Герца, представляет собой эллипс с полуосями, определяемыми значениями главных кривизн тела в точке контакта и упругими свойствами материала тела [3].

Введем правый ортонормированный репер e_1, e_2, e_3 , орт e_1 которого направлен вдоль скорости скольжения U точки первоначального контакта тела и плоскости, совпадающей с центром пятна контакта, а орт e_3 — вдоль восходящей вертикали. Рассмотрим произвольную точку пятна контакта P с радиус-вектором ρ относительно центра пятна контакта. Компоненты скорости скольжения $U_p = U_1 e_1 + U_2 e_2$ такой точки можно представить в виде

$$U_1 = U - \rho\Omega \sin \varphi, \quad U_2 = \rho\Omega \cos \varphi,$$

Получено 17 мая 2012 года
После доработки 24 июля 2012 года

Работа выполнена при финансовой поддержке Российского фонда фундаментальных исследований (10-01-00292, 11-01-00354).

Муницына Мария Александровна
munitsyna@gmail.com

Московский государственный университет им. М. В. Ломоносова
119991, Россия, г. Москва, Ленинские горы, д. 1



где $U = |\mathbf{U}|$, $\rho = |\boldsymbol{\rho}|$, φ — угол между вектором $\boldsymbol{\rho}$ и ортом \mathbf{e}_1 , Ω — проекция угловой скорости тела на восходящую вертикаль (скорость вращения).

Будем считать, что сила трения $d\mathbf{F}_p$, действующая на элементарную площадку $d\sigma$ пятна контакта и приложенная в точке P , удовлетворяет закону Кулона. Тогда

$$d\mathbf{F}_p = -kp \frac{\mathbf{U}_p}{|\mathbf{U}_p|} d\sigma,$$

где k — коэффициент трения, p — давление в точке P . Результирующая сила трения, приложенная в центре пятна контакта, и момент трения относительно последнего определяются как

$$\mathbf{F} = \int_{\sigma} d\mathbf{F}_p = -F_1 \mathbf{e}_1 - F_2 \mathbf{e}_2, \quad \mathbf{M} = \int_{\sigma} [\boldsymbol{\rho}, d\mathbf{F}_p] = -M \mathbf{e}_3. \quad (1.1)$$

Согласно теории Герца [3], закон распределения давления по пятну контакта имеет вид

$$p = \frac{3}{2} \frac{N}{\pi \alpha \beta} \sqrt{1 - \frac{\rho^2 \cos^2(\psi + \varphi)}{\alpha^2} - \frac{\rho^2 \sin^2(\psi + \varphi)}{\beta^2}}, \quad (1.2)$$

где N — величина нормальной составляющей реакции опорной плоскости, α и β — большая и меньшая полуоси пятна контакта соответственно, ψ — угол отклонения орта \mathbf{e}_1 от большей полуоси пятна контакта.

Компоненты силы и момента трения, соответствующие (1.1), имеют вид

$$F_1 = k \int_0^{2\pi r(\varphi)} \int_0^{2\pi r(\varphi)} p \frac{(U - \rho \Omega \sin \varphi) \rho}{\sqrt{U^2 - 2U \rho \Omega \sin \varphi + \rho^2 \Omega^2}} d\rho d\varphi, \quad (1.3)$$

$$F_2 = k \int_0^{2\pi r(\varphi)} \int_0^{2\pi r(\varphi)} p \frac{\rho^2 \Omega \cos \varphi}{\sqrt{U^2 - 2U \rho \Omega \sin \varphi + \rho^2 \Omega^2}} d\rho d\varphi, \quad (1.4)$$

$$M = k \int_0^{2\pi r(\varphi)} \int_0^{2\pi r(\varphi)} p \frac{(\rho \Omega - U \sin \varphi) \rho^2}{\sqrt{U^2 - 2U \rho \Omega \sin \varphi + \rho^2 \Omega^2}} d\rho d\varphi, \quad (1.5)$$

где $r(\varphi) = \alpha\beta / \sqrt{\alpha^2 \sin^2(\psi + \varphi) + \beta^2 \cos^2(\psi + \varphi)}$. Полученные выражения имеют вид эллиптических интегралов. С учетом закона (1.2), они определяют зависимость силы и момента трения от величин скоростей скольжения и вращения, а также от параметра ψ , определяющего ориентацию пятна контакта относительно скорости проскальзывания.

2. Аппроксимации Паде

Функции (1.3)–(1.5) являются однородными функциями переменных U и Ω . Они удовлетворяют следующим свойствам:

$$\begin{aligned} F_1|_{U=0} &= F_2|_{U=0} = F_2|_{\Omega=0} = 0, \\ F_1|_{\Omega=0} &= F_0, \quad M|_{\Omega=0} = 0, \quad M|_{U=0} = \frac{3}{32} \alpha F_0 \delta_0, \\ \frac{dF_1}{dU}|_{U=0} &= -\Omega \frac{d^2 M}{dU^2}|_{U=0} = \frac{3}{8} \frac{F_0}{\alpha |\Omega|} \delta_1, \quad \frac{dF_2}{dU}|_{U=0} = \frac{3}{16} \frac{F_0}{\alpha |\Omega|} \delta_2, \end{aligned}$$



$$-\frac{d^2 F_1}{d\Omega^2}\Big|_{\Omega=0} = \frac{1}{U} \frac{dM}{d\Omega}\Big|_{\Omega=0} = \frac{1}{5} \frac{F_0 \alpha^2}{U^2} \delta_3, \quad \frac{d^2 F_2}{d\Omega^2}\Big|_{\Omega=0} = \frac{1}{5} \frac{F_0 \alpha^2}{U^2} \delta_4. \quad (2.1)$$

Здесь $F_0 = kN$, а δ_i ($i = \overline{1,5}$) — безразмерные выражения вида

$$\delta_0 = \mu^2 I_1, \quad \delta_1 = (I_2 \cos 2\psi + I_3 \sin^2 \psi), \quad \delta_2 = \sin 2\psi (-2I_2 + I_3). \quad (2.2)$$

$$\delta_3 = (1 - \mu^2) \cos^2 \psi + \mu^2, \quad \delta_4 = \sin 2\psi (1 - \mu^2),$$

содержащие параметр $\mu = \beta/\alpha$, который определяет степень сжатости пятна контакта к большей полуоси ($0 < \mu < 1$, при $\mu = 1$ пятно — круг), и эллиптические интегралы I_1 , I_2 и I_3 , зависящие только от эксцентриситета пятна контакта $x = \sqrt{1 - \mu^2}$ вида

$$I_1 = \int_0^{2\pi} \frac{1}{(\sqrt{1 - x^2 \cos^2(\varphi)})^3} d\varphi, \quad I_2 = \int_0^{2\pi} \frac{\cos^2 \varphi}{\sqrt{1 - x^2 \cos^2 \varphi}} d\varphi, \quad I_3 = \int_0^{2\pi} \frac{1}{\sqrt{1 - x^2 \cos^2 \varphi}} d\varphi. \quad (2.3)$$

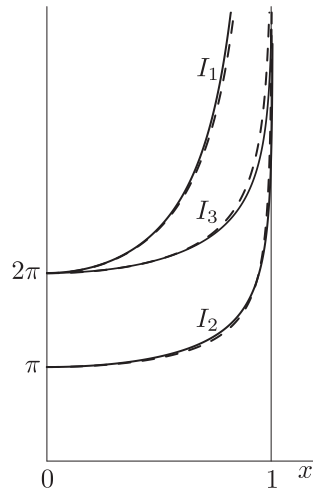


Рис. 1.

На рисунке 1 представлены зависимости от x выражений (2.3) (сплошные кривые), а также и их аппроксимаций (пунктирные кривые) вида

$$I_1 = \frac{2\pi}{(1 - x^2)^{3/4}}, \quad I_2 = \frac{\pi}{(1 - x^2)^{3/8}}, \quad I_3 = \frac{2\pi}{(1 - x^2)^{1/4}}. \quad (2.4)$$

Учитывая значения (2.1) функций (1.3)–(1.5) при чистом верчении ($U = 0$) и чистом скольжении ($\Omega = 0$), можно построить их аппроксимации Паде [4] первого порядка,

$$F_1 = F_0 \frac{U}{U + a_0 \alpha |\Omega|}, \quad F_2 = 0, \quad M = M_0 \frac{\alpha \Omega}{b_0 U + \alpha |\Omega|},$$

или второго порядка

$$F_1 = F_0 \frac{U^2 + a_1 U \alpha |\Omega|}{U^2 + a_1 U \alpha |\Omega| + a_2 \alpha^2 \Omega^2}, \quad M = M_0 \frac{b_1 U \alpha \Omega + \alpha^2 \Omega |\Omega|}{b_2 U^2 + b_1 U \alpha |\Omega| + \alpha^2 \Omega^2}, \quad (2.5)$$

$$F_2 = -F_0 \frac{U \alpha \Omega}{U^2 + a_3 U \alpha |\Omega| + a_4 \alpha^2 \Omega^2}.$$



Максимальное значение момента трения M_0 и коэффициенты аппроксимаций второго порядка определяются уравнениями (2.1), аппроксимации первого порядка строятся с сохранением значений только первых производных соответствующих функций. Таким образом, учитывая аппроксимации (2.4), получим

$$M_0 = \frac{3\pi}{16} \mu^{1/2} \alpha F_0, \quad a_0 = \frac{8}{3\pi} \frac{\mu^{3/4}}{\delta_5}, \quad b_0 = \frac{15\pi}{16} \frac{\mu^{1/2}}{\delta_3}, \quad (2.6)$$

$$a_1 = \frac{3\pi\delta_3\delta_5}{80\mu^{3/4}}, \quad a_2 = \frac{\delta_3}{10}, \quad a_3 = -\frac{\delta_4}{10}, \quad a_4 = -\frac{8}{3\mu^{3/4}\pi\delta_6}, \quad b_1 = -\frac{16\delta_3\delta_5}{15\mu^{7/4}\pi}, \quad b_2 = \frac{\delta_5}{\mu^{5/4}}, \quad (2.7)$$

$$\delta_5 = (1 - \mu^{1/4}) \cos 2\psi + \mu^{1/4}, \quad \delta_6 = (1 - \mu^{1/4}) \sin 2\psi.$$

Полученная модель трения не применима при одновременно малых значениях скоростей скольжения и верчения, и ее следует дополнить соответствующими зонами застоя. На рисунке 2 представлены абсолютные значения точных выражений компонент сил и момента трения (1.2),(1.3) (жирные кривые), а также их аппроксимации первого порядка (тонкие пунктирные кривые) и второго порядка (тонкие сплошные кривые) при $\mu = 0.6$, $\psi = \pi/6$ в зависимости от отношения скорости скольжения к модулю скорости верчения. На рисунке 3 представлены соответствующие области застоя.

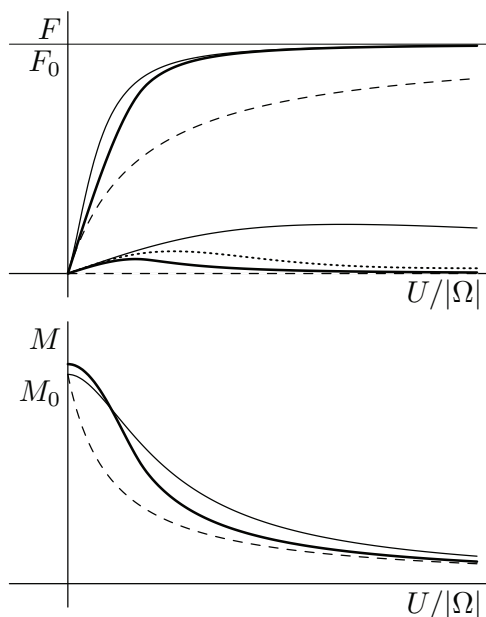


Рис. 2.

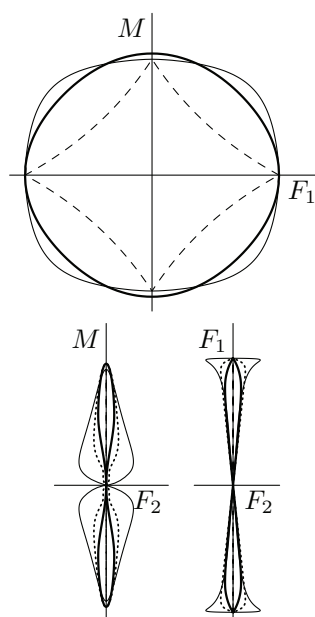


Рис. 3.

Заметим, что по характеру точности аппроксимацию Паде второго порядка компоненты силы трения F_2 следует отнести к аппроксимациям первого порядка силы F_1 и момента трения. Аппроксимации компоненты F_2 более высокого порядка, сохраняющие свойства (2.1), можно принять в виде

$$F_2 = -F_0 \frac{U(\alpha\Omega)^{2n-1} \alpha_4^{n-1} + U^{2n-1} \alpha\Omega/n}{(U^2 + a_3 U \alpha |\Omega| + a_4 \alpha^2 \Omega^2)^n}. \quad (2.8)$$

Соответствующие кривые при $n = 4$ изображены на рисунках 2 и 3 точками.



Положив в формулах (2.6) $\mu = 1$, $\psi = 0$ ($\delta_3 = \delta_5 = 1$, $\delta_4 = \delta_6 = 0$), получим коэффициенты аппроксимаций Паде в случае кругового пятна контакта [2, 5]. В общем случае при $\mu \neq 0$ сила трения имеет составляющую, перпендикулярную скорости скольжения тела [6, 7], что является отличием от модели плоского кругового контакта тела с опорной плоскостью [2, 4, 5]. Этим же свойством обладают модели кругового сферического контакта тела с опорной плоскостью [8] и модели, учитывающие смещение центра давлений пятна контакта вдоль скорости скольжения [9].

Поскольку теория Герца определяет зависимость параметров пятна контакта от упругих свойств соприкасающихся тел, полученная модель трения применима к исследованию динамики любых выпуклых гладких тел. При этом компоненты момента и силы трения предложенной модели зависят не только от скорости скольжения и верчения тела, но и от геометрических параметров пятна контакта и его ориентации, которые в свою очередь зависят от ориентации тела в пространстве.

3. Эллипсоид вращения на горизонтальной плоскости

Применим предложенную модель трения к задаче о движении однородного эллипсоида вращения, вытянутого вдоль оси динамической симметрии, по горизонтальной упругой плоскости.

Введем подвижную систему координат $C\xi_1\xi_2\xi_3$, с началом в центре масс эллипсоида и осями, направленными по его главным центральным осям инерции. Пусть a и c — экваториальный и, соответственно, осевой радиусы эллипсоида. Тогда уравнение его поверхности имеет вид $f(\mathbf{r}) = (\xi_1^2 + \xi_2^2)/a^2 + \xi_3^2/c^2 = 0$. Обозначим вектор восходящей вертикали $\boldsymbol{\gamma}$. Тогда

$$\boldsymbol{\gamma} = -\text{grad } f(\mathbf{r}) / \|\text{grad } f(\mathbf{r})\|, \tag{3.1}$$

где \mathbf{r} — радиус-вектор точки касания эллипсоида с опорной плоскостью.

В подвижной системе координат теоремы об изменении количества движения и момента количества движения эллипсоида, условие постоянства вектора $\boldsymbol{\gamma}$ и уравнение движения нижней точки эллипсоида вдоль вертикали имеют вид

$$m\dot{\mathbf{v}} + [\boldsymbol{\omega}, m\mathbf{v}] = -mg\boldsymbol{\gamma} + N\boldsymbol{\gamma} + \mathbf{F}, \tag{3.2}$$

$$\mathbb{J}\dot{\boldsymbol{\omega}} + [\boldsymbol{\omega}, \mathbb{J}\boldsymbol{\omega}] = [\mathbf{r}, N\boldsymbol{\gamma} + \mathbf{F}] + \mathbf{M}, \tag{3.3}$$

$$\dot{\boldsymbol{\gamma}} + [\boldsymbol{\omega}, \boldsymbol{\gamma}] = 0, \tag{3.4}$$

$$\dot{\varepsilon} = (\mathbf{u}, \boldsymbol{\gamma}). \tag{3.5}$$

Здесь m — масса эллипсоида, \mathbf{v} и $\boldsymbol{\omega}$ — векторы скорости центра масс и, соответственно, угловой скорости тела, g — ускорение свободного падения, N — величина нормальной составляющей реакции опорной плоскости, $\mathbb{J} = \text{diag}(\mathbb{J}_1, \mathbb{J}_1, \mathbb{J}_3)$ — центральный тензор инерции эллипсоида, ε — высота нижней точки эллипсоида над плоскостью, \mathbf{F} и \mathbf{M} — сила и момент трения, действующие на эллипсоид со стороны опорной плоскости.

Будем считать опорную плоскость слабо деформируемой, и для значения нормальной составляющей ее реакции примем модель Герца

$$N = \begin{cases} \lambda|\varepsilon|^{3/2}, & \varepsilon < 0, \\ 0, & \varepsilon > 0, \end{cases} \tag{3.6}$$



где λ — постоянная, определяемая свойствами материалов эллипсоида и плоскости. Таким образом, система (3.2)–(3.5) с учетом соотношения (3.6) является замкнутой системой дифференциальных уравнений относительно \mathbf{u} , $\boldsymbol{\omega}$, $\boldsymbol{\gamma}$, ε . Для численного интегрирования полученных уравнений определим зависимость силы и момента трения от указанных переменных.

В рамках предложенной модели трения, с учетом возможности отрыва эллипсоида от опорной плоскости, справедливы равенства

$$\mathbf{F} = \begin{cases} -F_1 \mathbf{e}_1 - F_2 \mathbf{e}_2, & \varepsilon < 0, \\ 0, & \varepsilon > 0, \end{cases} \quad \mathbf{M} = \begin{cases} -M\boldsymbol{\gamma}, & \varepsilon < 0, \\ 0, & \varepsilon > 0, \end{cases} \quad (3.7)$$

где $\mathbf{e}_2 = [\boldsymbol{\gamma}, \mathbf{u}]/|\mathbf{u}|$, $\mathbf{e}_1 = [\mathbf{e}_2, \boldsymbol{\gamma}]$, а величины F_1 , F_2 и M определяются равенствами (2.5), (2.7), (2.8), в которых следует положить $U = (\mathbf{u}, \mathbf{e}_1)$ — скорость проскальзывания, $\Omega = (\boldsymbol{\omega}, \boldsymbol{\gamma})$ — скорость вращения.

Поскольку зависимость полуосей пятна контакта от значений главных кривизн эллипсоида в точке контакта определяется в теории Герца трансцендентным уравнением, введем гипотезу о совпадении параметров пятна контакта с параметрами сечения эллипсоида горизонтальной плоскостью, проходящей через точку $\mathbf{r} + \varepsilon \boldsymbol{\gamma}$ ($\varepsilon < 0$). Тогда, считая, что размеры пятна контакта малы по сравнению с размерами эллипсоида и $\sqrt{|\varepsilon|/S} \ll 1$, получим

$$\alpha = a^2 \nu \sqrt{\frac{2|\varepsilon|}{S^3}}, \quad \mu = \sqrt[4]{\frac{a\nu}{S}}, \quad \sin \psi = \frac{u_1 \gamma_2 - u_2 \gamma_1}{|\mathbf{u}| \sqrt{1 - \gamma_3^2}}, \quad \cos \psi = \frac{-u_1 \gamma_1 \gamma_3 - u_2 \gamma_2 \gamma_3 + u_3 (1 - \gamma_3^2)}{|\mathbf{u}| \sqrt{1 - \gamma_3^2}}. \quad (3.8)$$

Здесь $\nu = c/a > 1$ — параметр, определяющий степень вытянутости эллипсоида, $S = a \sqrt{\sin^2 \theta + \nu^2 \cos^2 \theta}$ — высота центра масс эллипсоида над опорной плоскостью.

Численные эксперименты проводились для вытянутого вдоль оси симметрии эллипсоида с параметрами $m = 2$ кг, $a = 0.05$ м, $c = 0.1$ м ($\nu = 2$). Коэффициент трения и параметр модели Герца были приняты следующими: $k = 0.1$, $\lambda = 10^7$ кг/(с²·м^{1/2}). На рисунке 4 представлены зависимости косинуса γ_3 угла нутации эллипсоида от квадрата его угловой скорости при следующих начальных условиях:

$$(a) \omega_{10} = 65 \text{ с}^{-1}, \quad (b) \omega_{10} = 77 \text{ с}^{-1}, \quad (c) \omega_{10} = 90 \text{ с}^{-1}, \quad (d) \omega_{10} = 115 \text{ с}^{-1}.$$

Во всех случаях $\varepsilon_0 = -0.3 \cdot 10^{-4}$ м, $\omega_{30} = 10 \text{ с}^{-1}$, $\omega_{20} = 0$, $\gamma_{20} = 0$, $\gamma_{10} = 0$, $\gamma_{30} = 0.05$, значение γ_{10} определялось геометрическим интегралом, начальная скорость проскальзывания — равенством $\mathbf{v} = 0$.

Численные эксперименты показывают, что если эллипсоид, ось симметрии которого почти горизонтальна, закрутить с достаточно большой угловой скоростью вокруг почти вертикальной оси (начальные условия (a)), то угловая скорость эллипсоида сначала увеличивается, а ось его симметрии поднимается до тех пор, пока не начинаются квазипрецессионные движения тела, на которых его центр масс неподвижен, а ось симметрии медленно опускается к горизонтали; затем эллипсоид замедленно вращается вокруг вертикально расположенного экваториального диаметра до полной остановки.

При увеличении начальной угловой скорости (начальные условия (b)) ось симметрии эллипсоида поднимается до вертикали, и некоторое время эллипсоид замедленно вращается вокруг нее; затем происходит резкий переход к прецессионному движению, и далее движение аналогично предыдущему случаю.

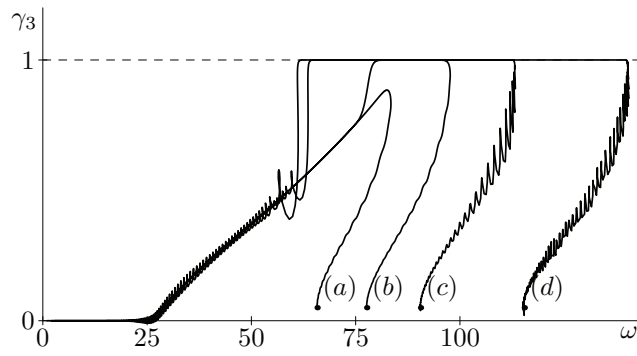


Рис. 4.

При начальной угловой скорости (начальные условия (c)) поведение эллипсоида аналогично предыдущему случаю с тем только отличием, что увеличивается длительность вертикальных вращений и уменьшается угловая скорость перехода на прецессию. При дальнейшем увеличении начальной угловой скорости эллипсоида (например, начальные условия (d)) характер его движения и угловая скорость перехода на прецессию не меняются. Однако на первом интервале движения наблюдается серия ударов об опорную плоскость.

На рисунке 5 представлены зависимости от времени косинуса угла нутации эллипсоида, модулей силы и момента трения, большей полуоси пятна контакта, отношения меньшей полуоси пятна контакта к большей и отношение силы реакции опорной плоскости к весу эллипсоида при движении с начальными условиями (c). В ходе эксперимента компонента силы трения, перпендикулярная скорости проскальзывания, принимала отличные от нуля значения только во время переходных процессов, а ее максимальное значение имело порядок 10^{-5} по сравнению с максимальным значением модуля силы трения.

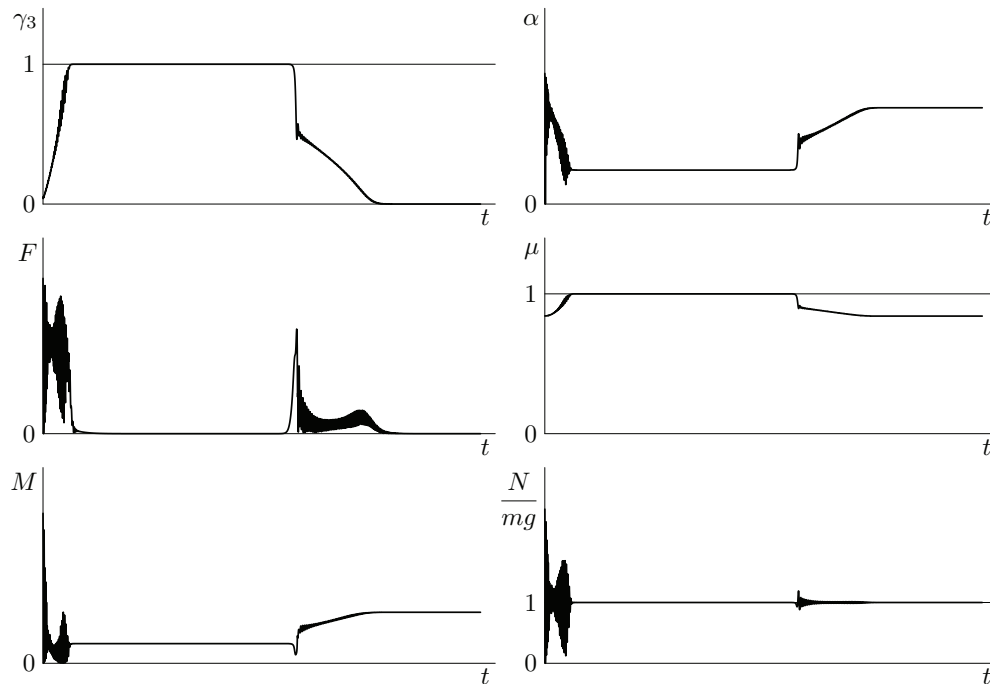


Рис. 5.

Заметим, что численная реализация модели трения для эллиптического контакта соприкасающихся тел проведена также в работе [7]. В отличие от [7], построенные в данной работе аппроксимации силы и момента трения, а также гипотеза о совпадении формы пятна контакта с сечением движущегося тела позволяют избавиться от вычисления эллиптических интегралов при численном моделировании, что упрощает алгоритм интегрирования и увеличивает скорость вычислений. Кроме того, в данном эксперименте при движении тела меняются как размеры, так и форма пятна контакта.

Список литературы

- [1] Контенсу П. Связь между трением скольжения и трением верчения и ее учет в теории волчка // Проблемы гироскопии: Сб. научн. ст. / Г. Циглер (ред.). М.: Мир, 1967. С. 60–77.
- [2] Журавлёв В. Ф. О модели сухого трения в задаче качения твердых тел // ПММ, 1998, т. 62, № 5, с. 762–767.
- [3] Лурье А. И. Теория упругости. М.: Наука, 1980. 513 с.
- [4] Журавлёв В. Ф., Кириенков А. А. О разложениях Паде в задаче о двумерном кулоновском трении // МТТ, 2005, № 2, с. 3–14.
- [5] Журавлёв В. Ф. Закономерности трения при комбинации скольжения и верчения // МТТ, 2003, № 4, с. 81–88.
- [6] Kireenkov A. A. About the motion of the symmetric rigid solid alone the plane // Proc. of the 8th Conf. on Dynamical Systems: Theory and Applications (December 12–15, 2005, Łódź, Poland): Vol. 1 / J. Awrejcewicz (Ed.). Łódź: Left Grupa, 2005. P. 95–102.
- [7] Косенко И. И., Александров Е. Б. Реализация модели Контенсу–Эрисмана касательных сил в контактной задаче Герца // Нелинейная динамика, 2009, т. 5, № 4, с. 499–517.
- [8] Карапетян А. В. Двухпараметрическая модель трения и ее свойства // ПММ, 2009, т. 73, № 5, с. 515–519.
- [9] Кириенков А. А. Трехмерные модели трения // Вестн. Нижегородск. ун-та им. Н. Н. Лобачевского, 2011, № 4(2), с. 174–176.

The friction model in the case of a planar elliptic contact of a body with the supporting surface

Mariya A. Munitsyna

M. V. Lomonosov Moscow State University
Leninskie gory 1, Moscow, 119991, Russia
munitsyna@gmail.com

The Contensou – Zhuravlev model [1, 2] is extended to include the case of planar elliptic contact of a convex body with a horizontal plane. The Padé approximations of expressions for determining the friction force and friction torque are constructed. The resulting model is applied to the numerical investigation of the dynamics of a homogeneous ellipsoid of revolution on a horizontal plane.

MSC 2010: 70F40

Keywords: dry friction, Coulomb law

Received May 17, 2012, accepted July 24, 2012

Citation: *Rus. J. Nonlin. Dyn.*, 2012, vol. 8, no. 4, pp. 705–712 (Russian)

